

# Rapport de Stage

Hervé SV

Juillet 2023

# Table des matières

|          |  |          |
|----------|--|----------|
| <b>1</b> | <b>Introduction</b>                        | <b>2</b> |
| <b>2</b> | <b>Rappel sur l'oscillateur harmonique</b> | <b>3</b> |
| 2.1      | L'oscillateur forcé . . . . .              | 3        |
| <b>3</b> | <b>L'oscillateur de Duffing</b>            | <b>5</b> |

# 1. Introduction

## 2. Rappel sur l'oscillateur harmonique

Considérons le cas de l'oscillateur harmonique amorti :

$$\ddot{x} + \gamma\dot{x} + \omega_0^2 x = 0 \quad \gamma > 0 \quad (2.1)$$

Lorsque  $\omega_0 > \frac{\gamma}{2}$  le système oscille de manière pseudopériodique et admet des solutions de la forme :

$$x(t) = e^{-\frac{\gamma}{2}t} (A \cos(\omega_\gamma t) + B \sin(\omega_\gamma t)) \quad \omega_\gamma = \sqrt{\omega_0^2 - \gamma^2/4} \quad (2.2)$$

Cette solution est caractérisé par des oscillations sinusoïdales avec une amplitude qui décroît de manière exponentielle selon  $e^{-\frac{\gamma}{2}t}$ .

### 2.1 L'oscillateur forcé

Étudions le cas où l'on applique une force periodique de la forme  $f_0 \cos(\omega t)$  :

$$\ddot{x} + \gamma\dot{x} + \omega_0^2 x = f_0 \cos(\omega t) \quad (2.3)$$

Étant donné que la fréquence  $\omega$  de la force ne correspondant généralement pas à la fréquence naturelle de l'oscillateur  $\omega_0$ , elle ne se mettra pas à osciller. On s'attend à ce que pour grand  $t$ ,  $x$  finisse par adopter la fréquence d'oscillations  $\omega$ . On cherche une solution particulière de cette forme en passant par les complexes [1].

$$x(t) = \text{Re}(z(t)) \quad z(t) = A e^{i\omega t} \quad (2.4)$$

L'équation (2.3) devient :

$$(-\omega^2 + i\omega\gamma + \omega_0^2)z = f_0 e^{i\omega t} \quad (2.5)$$

$$z(t) = R f_0 e^{i\omega t} \quad R = \frac{1}{\omega_0^2 - \omega^2 + i\omega\gamma} = \rho e^{i\phi} \quad (2.6)$$

Le module  $\rho$  est un multiplicateur de l'amplitude de la réaction suite à la force, et l'argument  $\phi$  va induire un déphasage de  $x$  par rapport à la force.

En revenant dans les réels :

$$x(t) = \rho f_0 \cos(\omega t + \phi) \quad \dot{x}(t) = -\omega \rho f_0 \sin(\omega t + \phi) \quad (2.7)$$

On peut aisement déterminer des expressions pour  $\rho$  et  $\phi$

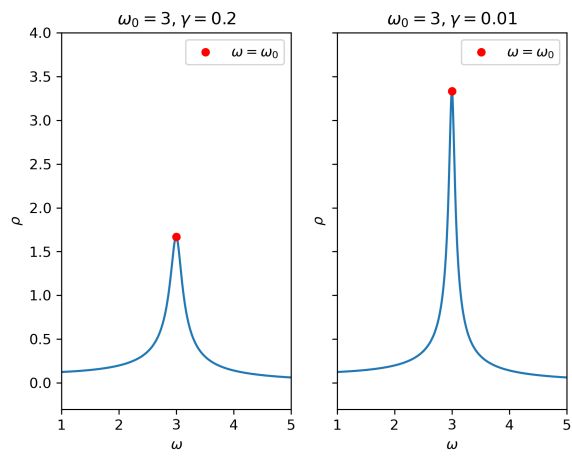
$$\begin{aligned} \rho^2 &= R R^* \\ &= \frac{1}{(\omega_0^2 - \omega^2)^2 + \omega^2 \gamma^2} \end{aligned} \quad (2.8)$$

$$\tan\left(\frac{\phi}{2}\right) = \frac{-\rho\omega\gamma}{\rho(\omega_0^2 - \omega^2) + 1} \quad (2.9)$$

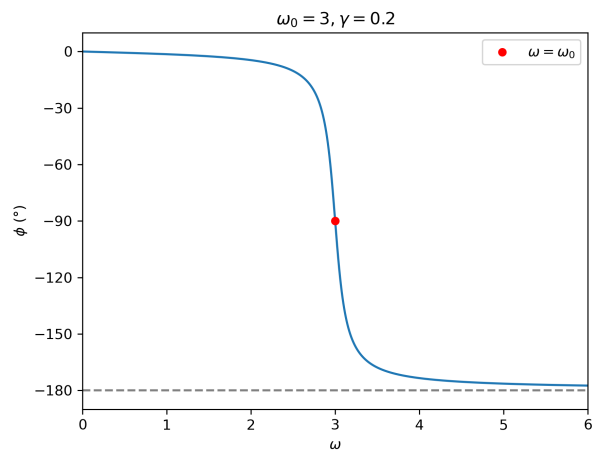
MONTRER PLOTS, PARLER DE LA LORENZTIENNE

$\rho$  prend la forme d'une courbe lorentzienne, l'amplification de la force est très forte lorsque  $\omega$  est proche de  $\omega_0$  (effet de résonance), l'amplification tend rapidement vers zéro le plus  $\omega$  s'éloigne de  $\omega_0$ .

Étant donné que la solution homogène tend vers 0, à long terme l'oscillateur va atteindre un état stable où il sera synchronisé avec la force.



(a)



(b)

### 3. L'oscillateur de Duffing

Considérons l'oscillateur forcé, mais maintenant avec un terme en  $x^3$  supplémentaire, nous donnant l'équation de Duffing forcé. Ce n'est plus une équation linéaire, donc on ne peut plus exprimer la solution comme étant une superposition des solutions homogènes et particulières.

$$\ddot{x} + \gamma \dot{x} + \omega_0^2 x + \epsilon x^3 = f_0 \cos(\omega t) \quad (3.1)$$

Pour  $\epsilon$  et  $f_0$  suffisamment faible, on s'attend à trouver un comportement semblable à l'oscillateur harmonique. On cherche donc des solutions de la forme :

$$x(t) = r(t) \cos(\omega t + \phi(t)) \quad \dot{x}(t) = -\omega r(t) \sin(\omega t + \phi(t)) \quad (3.2)$$

$$r(t) = \sqrt{x^2 + (\dot{x}/\omega)^2}$$

On fait l'hypothèse que comme dans le cas de l'oscillateur harmonique amorti, la vitesse d'évolution de  $r$  et de  $\phi$  sont données par le coefficient d'amortissement  $\gamma$ . Donc si  $\gamma \ll \omega$ ,  $r$  et  $\phi$  vont varier lentement par rapport à la période d'oscillation de  $x$ .

En notation complexe :

$$x(t) = z(t)e^{i\omega t} + z(t)^*e^{-i\omega t} \quad \dot{x}(t) = i\omega [z(t)e^{i\omega t} - z(t)^*e^{-i\omega t}] \quad (3.3)$$

$z(t)$  étant une variable complexe encodant l'amplitude et la phase d'oscillations du système.

$$z(t) = \frac{r(t)}{2} e^{i\phi(t)}$$

Ce changement de variable  $(x, \dot{x}) \rightarrow (r, \phi)$  nous place effectivement sur un référentiel tournant à la fréquence  $\omega$ . En écartant ces oscillations rapides auxquelles on s'attend, on peut mieux se concentrer sur les oscillations lentes de  $r(t)$  et de  $\phi(t)$ . Lorsque l'oscillateur oscille de manière harmonique,  $z$  est constant [2].

En prenant la dérivée de (3.2), on obtient :

$$\dot{x}(t) = \dot{z}(t)e^{i\omega t} + \dot{z}(t)^*e^{-i\omega t} + i\omega [z(t)e^{i\omega t} - z(t)^*e^{-i\omega t}] \quad (3.4)$$

$$\ddot{x}(t) = i\omega [\dot{z}(t)e^{i\omega t} - \dot{z}(t)^*e^{-i\omega t}] + (i\omega)^2 [z(t)e^{i\omega t} + z(t)^*e^{-i\omega t}] \quad (3.5)$$

À partir de (3.2) et de (3.2), on obtient la condition :

$$\dot{z}(t)e^{i\omega t} + \dot{z}(t)^*e^{-i\omega t} = 0 \quad (3.6)$$

En substituant les équations de  $x$ ,  $\dot{x}$ , et de  $\ddot{x}$  dans (3.1) :

$$\begin{aligned} & 2i\omega \dot{z}(t)e^{i\omega t} + (i\omega)^2 [z(t)e^{i\omega t} + z(t)^*e^{-i\omega t}] + i\gamma\omega [z(t)e^{i\omega t} - z(t)^*e^{-i\omega t}] \\ & + \omega_0^2 [z(t)e^{i\omega t} + z(t)^*e^{-i\omega t}] + \epsilon [z(t)e^{i\omega t} + z(t)^*e^{-i\omega t}]^3 = \frac{f_0}{2} [e^{i\omega t} + e^{-i\omega t}] \end{aligned} \quad (3.7)$$

Puis en multipliant par  $e^{-i\omega t}$  :

$$\begin{aligned} & 2i\omega \dot{z}(t) + (i\omega)^2 [z(t) + \bar{z}(t)e^{-i2\omega t}] + i\gamma\omega [z(t) - \bar{z}(t)e^{-i2\omega t}] + \omega_0^2 [z(t) + \bar{z}(t)e^{-i2\omega t}] \\ & + \epsilon [z(t)^3 e^{i2\omega t} + 3z(t)^2 \bar{z}(t) + 3z(t)\bar{z}(t)^2 e^{-i2\omega t} + \bar{z}(t)^3 e^{-i4\omega t}] = \frac{f_0}{2} [1 + e^{-i2\omega t}] \end{aligned} \quad (3.8)$$

Jusqu'ici, tout est exacte. On procède par une opération de moyennement, qui exploite les deux échelles de temps observé dans notre système. Une échelle 'rapide' marqué par des oscillations rapides avec des périodes de l'ordre  $T = 2\pi/\omega$ , et une échelle 'lente' selon laquelle évolue  $z(t)$ .

La méthode de moyennement consiste à remarquer qu'étant donné que  $z$  évolue très lentement, il reste quasiment constant au cours d'une période d'oscillation rapide  $T$ .

$$\langle z \rangle = \frac{1}{T} \int_{t-\frac{T}{2}}^{t+\frac{T}{2}} z(t') dt' \approx z(t)$$

$\omega t$  étant défini modulo  $2\pi$ , on remarque aussi que pour  $n \neq 0$  :

$$\frac{1}{T} \int_{t-\frac{T}{2}}^{t+\frac{T}{2}} e^{in\omega t'} dt' = 0$$

Donc on peut prendre la moyenne mobile de l'équation (3.9) tout en traitant  $\dot{z}$ ,  $z$  et  $\bar{z}$  comme étant constants, ce qui nous permet de négliger les facteurs de  $e^{in\omega t}$ .

$$\begin{aligned} 2i\omega \dot{z}(t) &= -(i\omega)^2 z(t) - i\gamma\omega z(t) - \omega_0^2 z(t) - 3\epsilon|z|^2 z(t) + \frac{f_0}{2} \\ &= (\omega^2 - \omega_0^2) z(t) - i\gamma\omega z(t) - 3\epsilon|z|^2 z(t) + \frac{f_0}{2} \end{aligned} \quad (3.9)$$

On s'intéresse surtout au comportement du système près du pic de résonance, donc on prend l'approximation  $\omega^2 - \omega_0^2 = (\omega + \omega_0)(\omega - \omega_0) \approx 2\omega(\omega - \omega_0)$  :

$$\dot{z}(t) = -i(\omega - \omega_0)z(t) - \frac{\gamma}{2}z(t) + \frac{3i\epsilon}{2\omega}|z|^2 z(t) - \frac{if_0}{4\omega} \quad (3.10)$$

# Bibliographie

- [1] Richard FEYNMAN. *The Feynman Lectures on Physics Vol. I*. T. 1. Ch. 23 : Resonance. URL : [https://www.feynmanlectures.caltech.edu/I\\_23.html](https://www.feynmanlectures.caltech.edu/I_23.html).
- [2] Fabio PISTOLESI. « Duffing response in presence of thermal fluctuations ». Notes, non publié.